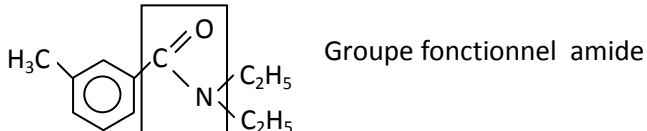




## CORRIGE DE L'ÉPREUVE DE SCIENCES PHYSIQUES

### EXERCICE 1

#### 1.1.1



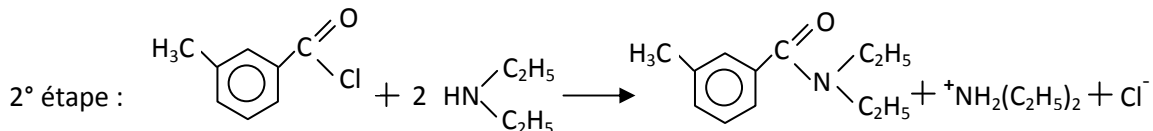
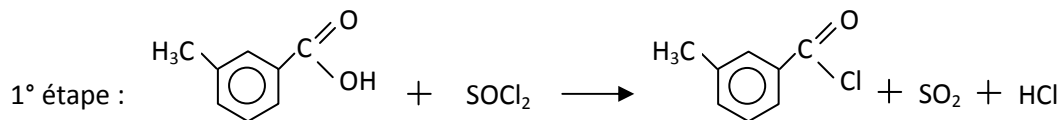
#### 1.1.2

a) formule de l'amine :  $C_2H_5 - NH - C_2H_5$

nom : **diéthylamine**

classe : **amine secondaire**

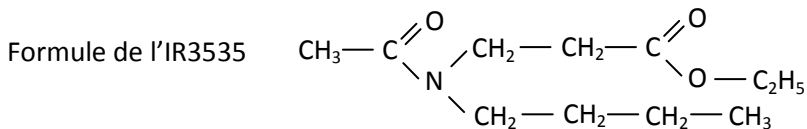
b) Equations-bilans de la préparation :



#### 1.1.3

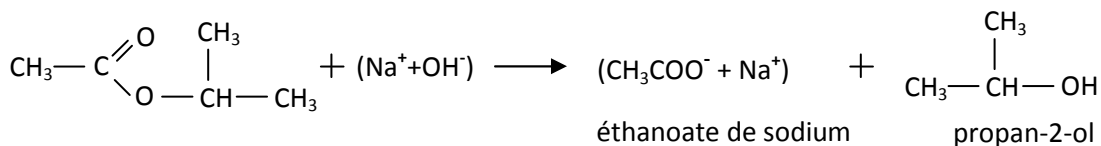
Nom officiel : **N,N-diéthyl-3méthylbenzamide**

### 1.2



### EXERCICE 2

2.1 Equation-bilan de la réaction et nom des produits :



## 2.2

**2.2.1** La vitesse de formation  $v$  est définie par :  $V = + \frac{dn}{dt}$  ; sa valeur correspond au coefficient directeur de la tangente à la courbe  $n = f(t)$  à la date  $t$  considérée.

A chaque date, on trace la tangente à la courbe  $n = f(t)$  ; et on détermine le coefficient directeur.

On obtient les résultats suivants :

$$\text{A } t = 2 \text{ min : } v_2 = 43 \mu\text{mol}\cdot\text{min}^{-1}$$

$$\text{A } t = 5 \text{ min : } v_5 = 17 \mu\text{mol}\cdot\text{min}^{-1}$$

On a :  $v_5 < v_2$ , donc la **vitesse diminue**.

Justification : la **concentration des réactifs diminue** → **diminution de la vitesse**.

### 2.2.2 Définition du temps de demi-réaction $t_{1/2}$

Le temps de demi-réaction est le temps au bout duquel la moitié de la quantité de matière initiale du réactif limitant a réagi.

### 2.2.3

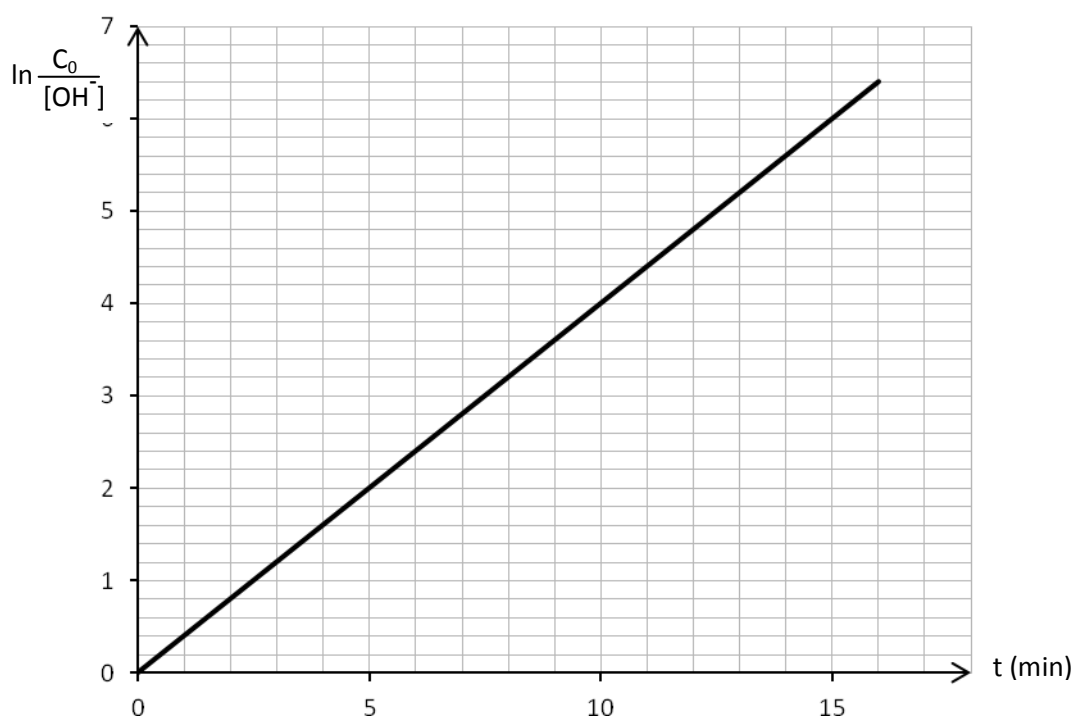
**a)** D'après le graphe la quantité de matière d'éthanoate de sodium obtenue est :  $n_f = 200 \mu\text{mol}$

**b)** A la date  $t_{1/2}$  on a :  $n_{\text{ester formé}} = \frac{n_{\text{ester finale}}}{2} = 100 \mu\text{mol}$  d'où, d'après le graphe,  $t_{1/2} = 1,6 \text{ min}$ .

### 2.3.

#### 2.3.1

**a)** Tracé de la courbe  $\ln\left(\frac{c_0}{[\text{OH}^-]}\right) = f(t)$  :



**b) Relation :**

On a une droite qui passe par l'origine  $\rightarrow \ln \frac{C_0}{[\text{OH}^-]} = kt$  (1) avec **k = pente = 0,4 min<sup>-1</sup>**

**2.3.2**

A la date  $t_{1/2}$  la moitié des ions OH<sup>-</sup> a réagi  $\rightarrow [\text{OH}^-]_{1/2} = \frac{C_0}{2}$  (2)

**2.3.3**

Les équations (1) et (2)  $\rightarrow$  à  $t_{1/2}$  on a :  $\ln \frac{C_0}{[\text{OH}^-]_{1/2}} = kt_{1/2} \rightarrow \ln \frac{C_0}{\frac{C_0}{2}} = kt_{1/2} \rightarrow t_{1/2} = \frac{\ln 2}{k}$

Valeur de la constante k : **k = 0,4 min<sup>-1</sup>**

**2.3.4 : Valeur de  $t_{1/2}$  :**

On a :  **$t_{1/2} = \frac{\ln 2}{0,4} = 1,7 \text{ min}$**

Il y a accord entre les 2 valeurs; l'erreur relative est :  $\frac{\Delta t_{1/2}}{t_{1/2}} = 0,06$  soit 6%.

**EXERCICE 3**

**3.1 Expression de  $U_0$  :**

Théorème de l'énergie cinétique :  $q U_0 = \frac{1}{2} m v_0^2$  ;

D'où  $U_0 = \frac{m V_0^2}{2q}$

**3.2**

**3.2.1 Représentation du champ  $\vec{E}$**

$U_{AB} < 0 \rightarrow V_A < V_B$  or  $\vec{E}$  est dirigé vers les potentiels

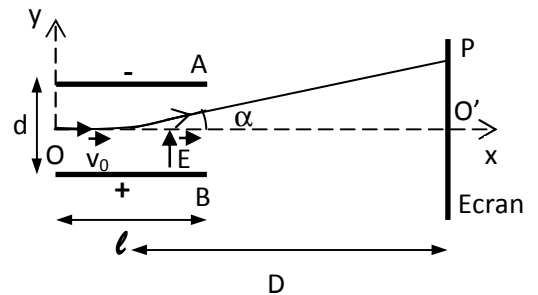
décroissants  $\rightarrow \vec{E}$  a le sens de B vers A

**3.2.2 Equation de la trajectoire :**

Système : particule

Référentiel terrestre (galiléen)

Bilan des forces : force électrostatique  $\vec{F} = q \vec{E}$



Théorème du centre d'inertie :  $q \vec{E} = m \vec{a} \rightarrow \vec{a} = \frac{q \vec{E}}{m}$

$$\vec{a} \begin{cases} a_x = 0 \\ a_y = \frac{qE}{m} \end{cases} \quad \vec{v} \begin{cases} v_x = v_0 \\ v_y = \frac{qE}{m} t \end{cases} \quad \text{OM} \begin{cases} x = v_0 t \\ y = \frac{qE}{2m} t^2 \end{cases}$$

On a :  $t = \frac{x}{v_0}$  ; on remplace dans  $y$  ;  $\rightarrow y = \frac{qE}{2mv_0^2} x^2$  ; **la trajectoire est parabolique.**

**3.2.3** Ordonnée  $y_s$  du point de sortie :

$$x_s = \ell \text{ soit } y_s = \frac{qE}{2mv_0^2} \ell^2 \text{ avec } E = \frac{U}{d} \text{ soit } y_s = \frac{qU}{2mdv_0^2} \ell^2$$

**3.2.4** Condition de sortie :  $y_s < \frac{d}{2} \rightarrow \frac{qU}{2mdv_0^2} \ell^2 < \frac{d}{2} \rightarrow U < \frac{mdv_0^2}{q \ell^2}$

### **3.3**

**3.3.1** Nature du mouvement de la particule à la sortie du champ électrique :

A la sortie du champ électrique, la particule n'est soumise à aucune force, donc son mouvement est **rectiligne et uniforme.**

**3.3.2** Déviation de la particule  $Y = O'P$  :

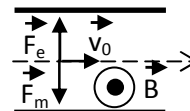
$$\tan \alpha = \frac{Y}{D} = \frac{y_s}{\frac{\ell}{2}} \rightarrow y = \frac{2Dy_s}{\ell} \rightarrow y = \frac{DqU \ell}{mdv_0^2}$$

### **3.4**

**3.4.1** Représentation de  $\vec{B}$

La particule est soumise à la force électrique  $\vec{F}_e$  et à la force magnétique  $\vec{f}_m$

On a :  $\vec{F}_e + \vec{f}_m = \vec{0}$  ; donc  $\vec{f}_m$  est opposée à  $\vec{F}_e$  ;



Or le trièdre  $(qv_0, B, \vec{f}_m)$  est direct  $\rightarrow \vec{B}$  **sortant**

**3.4.2** Intensité  $B$  du champ magnétique :

$$\vec{F}_e + \vec{F}_m = \vec{0} \rightarrow F_e = F_m \rightarrow qE = qv_0 B \rightarrow B = \frac{E}{v_0} = \frac{U}{dv_0}$$

$$\text{A.N : } B = \frac{400}{2 \cdot 10^{-2} \times 1,6 \cdot 10^6} = 1,25 \cdot 10^{-2} \text{ T}$$

**3.4.3** Charge massique  $\frac{q}{m}$  en fonction de  $Y, \ell, D, d, U$  et  $B$ .

$$Y = \frac{DqU\ell}{mdv_0^2} \rightarrow \frac{q}{m} = \frac{Ydv_0^2}{DU\ell} \text{ et } v_0^2 = \frac{U^2}{d^2B^2} \text{ Soit } \frac{q}{m} = \frac{YdU^2}{DU\ell d^2B^2} = \frac{YU}{D\ell dB^2}$$

**3.4.4** Calcul de la charge massique :

$$\frac{q}{m} = \frac{1,5 \cdot 10^{-2} \times 400}{40 \cdot 10^{-2} \times 5 \cdot 10^{-2} \times 2 \cdot 10^{-2} \times (1,25 \cdot 10^{-2})^2} = 9,6 \cdot 10^7 \text{ C} \cdot \text{kg}^{-1}; \text{ La particule est un proton.}$$

#### EXERCICE 4

**4.1** : Schéma du dispositif

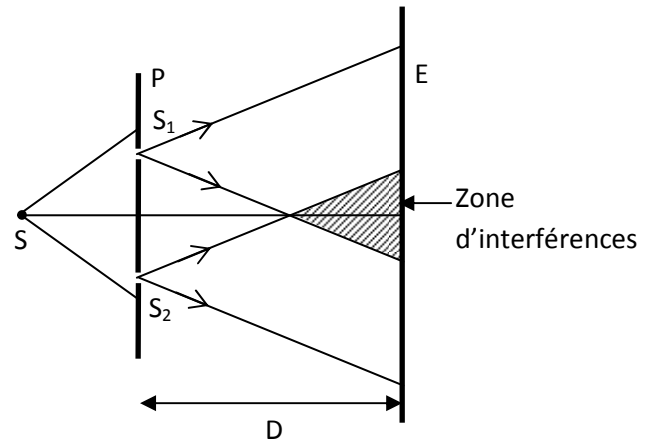
**4.2** Vibrations de  $S_1$  et  $S_2$  :  $Y_{01} = Y_{02} = S_0 \sin \omega t$

**4.2.1** Expression des vibrations au point  $M$  de l'écran.

Les vibrations en  $M$  accusent par rapport aux vibrations

de  $S_1$  et  $S_2$  un retard respectif de :

$$\begin{cases} t_1 = \frac{d_1}{c} \\ t_2 = \frac{d_2}{c} \end{cases}$$



Vibration issue de  $S_1 \rightarrow Y_1(M) = S_0 \sin \omega(t - \frac{d_1}{c})$

Vibration issue de  $S_2 \rightarrow Y_2(M) = S_0 \sin \omega(t - \frac{d_2}{c})$

**4.2.2** Le coefficient  $2S_0 \cos(\frac{\pi\delta}{\lambda})$  est l'amplitude de la vibration  $Y$  ; cela correspond à la valeur maximale de  $Y$  au point considéré.

**4.2.3**

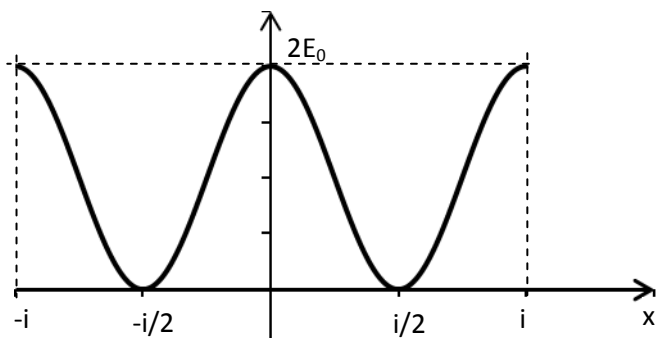
**a)** L'intensité lumineuse  $E$  s'écrit :  $E = CA^2 = C \times 4S_0^2 \cos^2(\frac{\pi\delta}{\lambda})$

$$\text{or } \cos^2 x = \frac{1 + \cos 2x}{2} \rightarrow \cos^2(\frac{\pi\delta}{\lambda}) = \frac{1 + \cos \frac{2\pi\delta}{\lambda}}{2} \rightarrow 2 \cos^2(\frac{\pi\delta}{\lambda}) = 1 + \cos \frac{2\pi\delta}{\lambda} = 1 + \cos \frac{2\pi x}{i}$$

avec  $i = \frac{\lambda D}{a}$  d'où  $E = 2S_0^2 C (1 + \cos \frac{2\pi x}{i}) \rightarrow E = E_0 (1 + \cos \frac{2\pi x}{i})$  avec  $E_0 = 2S_0^2 C$

**b)** Les valeurs de  $E$  et la courbe  $E(x) = f(x)$  :

$x$	$-i$	$-3i/4$	$-i/2$	$-i/4$	$0$	$i/4$	$i/2$	$3i/4$	$i$
$E(x)$	$2E_0$	$E_0$	$0$	$E_0$	$2E_0$	$E_0$	$0$	$E_0$	$2E_0$



c) Du graphe on déduit :

- abscisses des points où l'éclairement est maximal dans l'intervalle considéré :  $x = \{-i ; 0 ; i ; \dots\}$
- abscisses des points où l'éclairement est nul dans l'intervalle considéré :  $x = \{-\frac{i}{2} ; \frac{i}{2} ; \dots\}$
- distance séparant deux franges consécutives de même nature  $d = x_{n+1} - x_n = i$

### 4.3

**4.3.1**  $d = 10i_1 \rightarrow d = 10\lambda_1 \frac{D}{a} \rightarrow \lambda_1 = \frac{ad}{10D}$

A.N :  $\lambda_1 = 4,8 \cdot 10^{-7} \text{ m} = 480 \text{ nm}$

On mesure la distance correspondant à 10 interfranges au lieu de celle qui correspond à 1 interfrange pour avoir une détermination plus précise de l'interfrange. L'erreur de mesure est amoindrie.

### 4.3.2

Pour la lumière de longueur d'onde  $\lambda_1$ , au point considéré on a :  $x_a = k \lambda_1$  avec  $k = 2$

Pour la lumière de longueur d'onde  $\lambda_2$ , au point considéré on a :  $x_b = (2k'+1) \frac{\lambda_2}{2}$  avec  $k' = 1$

$$x_a = x_b \rightarrow \frac{3}{2}\lambda_2 = 2\lambda_1 \rightarrow \lambda_2 = \frac{4}{3}\lambda_1 \rightarrow \lambda_2 = 640 \text{ nm}$$

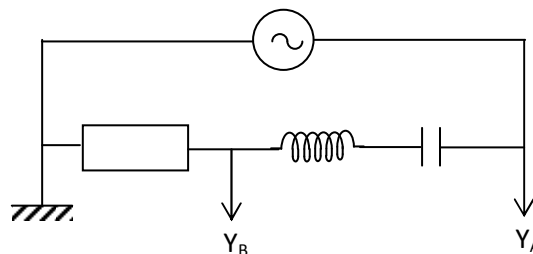
## EXERCICE 5

**5.1** Schéma + branchements de l'oscilloscope :

**5.2** La base des temps est restée la même sur les figures 5a et 5b. Par contre la sensibilité verticale a changé ; elle a augmenté.

### 5.3

**5.3.1** : 1 correspond à  $u(t)$  et 2 à  $u_R(t)$  parce que la tension maximale aux bornes du GBF est supérieure à celle aux bornes du résistor (dans l'état actuel de fonctionnement du circuit).



**5.3.2** Loi d'Ohm  $\rightarrow u_R = Ri \rightarrow i = \frac{u_R}{R} \rightarrow i$  et  $u_R$  sont proportionnelles  $\rightarrow$  en visualisant  $u_R$ , on visualise en même temps  $i$ .

## **5.4**

**5.4.1** La fréquence des oscillations :

La période  $T$  correspond à 10 divisions ; d'où :  $N = \frac{1}{T} = \frac{1}{10 \cdot 10^{-3}} = 100 \text{ Hz}$

**5.4.2** Valeur maximale de la tension  $u(t)$  :  $U_{\max} = S_v \cdot Y_A = 0,2 \times 4 = 0,8 \text{ V}$

Valeur maximale de l'intensité  $i(t)$  :  $U_{R\max} = S_v \cdot Y_B = 0,2 \times 2,5 = 0,5 \text{ V} \rightarrow I_{\max} = \frac{U_{R\max}}{R} = \frac{0,5}{50} = 10^{-2} \text{ A}$  :

Valeur de l'impédance :  $Z = \frac{U_{\max}}{I_{\max}} = 80 \Omega$

**5.4.3** Le déphasage entre  $u$  et  $i$

On a :  $\frac{|\varphi|}{2\pi} = \frac{\theta}{T} \rightarrow |\varphi| = \frac{2\pi\theta}{T} = \frac{2\pi \times 1}{10} = \frac{\pi}{5}$

La tension  $u$  est en avance sur  $u_R$  puisqu'elle atteint en premier son maximum  $\rightarrow \varphi = +\frac{\pi}{5}$

Valeur de  $r$

On a :  $\cos \varphi = \frac{R+r}{Z} \rightarrow r = Z \cos \varphi - R$

A.N :  $r = 80 \cos \frac{\pi}{5} - 50 = 14,7 \Omega$

Valeur de  $L$

$\sin \varphi = \frac{L\omega - \frac{1}{C\omega}}{Z} \rightarrow L\omega = Z \sin \varphi + \frac{1}{C\omega} \rightarrow L = \frac{Z \sin \varphi}{\omega} + \frac{1}{C\omega^2}$

A.N :  $L = 0,4 \text{ H}$